



IRANIAN SOCIETY of
CRYSTALLOGRAPHY and
MINERALOGY

Vol. 13, No. 2, 1384/2005 Fall & Winter

IRANIAN JOURNAL of
CRYSTALLOGRAPHY
and MINERALOGY

Mineralogy of Marbles produced by metamorphism of Listvenites of Upper Proterozoic Anarak Ophiolite (NE of Isfahan province, Iran)

G. Torabi¹, M. Sabzehei², S. Arai³, M. Shirasaka³, H. A. Ahmed⁴

1- Geology Department of Isfahan University

E-mail: Torabighodrat@yahoo.com

2- Geology Dep., Tarbiat Modarres university

E-mail: Msabzehei@yahoo.com

3- Earth Sci. Dep., Kanazawa University, Kanazawa, Japan

E-mail: Ultrasa@kenroku.kanazawa-u.ac.jp

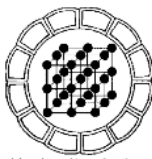
4- Central metallurgical res. and development inst., Cairo, Egypt

E-mail: Ahm2@yahoo.com

(Received: 23/06/2005, received in revised form: 17/10/2005)

Abstract: In the upper Proterozoic Anarak ophiolite, the marbles are present and have excellent exposures in different areas. Their best exposure is in southern slope of Chah-Gorbeh mountain (Chah-Mahdi valley). In the field, marbles have massive and dike like exposures. Petrographic studies and geochemistry of minerals show that marbles consist of carbonate (calcite), garnet (andradite), clinopyroxene (diopside and magnesian-augite), amphibole (tremolite), serpentine, chlorite, epidote, chromian spinel, magnetite and chromian-magnetite, that are alteration products of chromian spinel. Field and microscopic studies show that the marbles have been produced by regional metamorphism of old listvenites at different phases of metamorphism. The protoliths of these metamorphosed listvenites were ultrabasic dikes and intrusions, and mantle peridotites. Presence of serpentine, relic chromian spinel, magnetite and chromian magnetite that have changed to garnet, supports this interpretation. Therefore, the marbles of Anarak ophiolite, are productions of regional metamorphism of old listvenites.

Keywords: Mineralogy, Marble, Ophiolite, Upper Proterozoic, Anarak, Iran.



کانی‌شناسی مرمرهای حاصل از دگرگونی لیستونیت‌ها در افیولیت-های پروتروزوئیک بالایی انارک (شمال شرق استان اصفهان، ایران)

قدرت ترابی^۱، مسیب سبزه‌یی^۲، شوجی آرایی^۳، میکی شیراساکا^۴،
احمد حسن احمد^۴

۱- عضو هیئت علمی گروه زمین‌شناسی دانشگاه اصفهان

۲- بخش زمین‌شناسی دانشگاه تربیت مدرس

۳- دانشکده علوم زمین دانشگاه کنانزاروا زاپن

۴- مرکز تحقیقات و توسعه متالورژی، قاهره، مصر

پست الکترونیکی: torabighodrat@yahoo.com

(دریافت مقاله ۱۳۸۴/۳/۱۲ ، دریافت نسخه نهایی ۱۳۸۴/۷/۲۵)

چکیده: درون افیولیت انارک که سن پروتروزوئیک بالایی دارد، مرمرهای خاصی را به صورت پراکنده می‌توان مشاهده کرد که بیشترین رخنمون را در دامنه‌های جنوبی کوه چاه گربه (دره چاه مهدی) دارند. این مرمرها با مرمرهایی که جزئی از سنگ‌های دگرگونی انارک هستند متفاوتند. در بررسی‌های صحرایی، این مرمرها را به دو شکل توده‌ای و دایکی می‌توان مشاهده کرد. نتایج حاصل از بررسی‌های سنگ‌شناسی و ژئوشیمی کانی‌ها نشان می‌دهد که این سنگ‌ها از کانی‌های کربنات (کلسیت)، گارنت (آندرادیت)، کلینوپیروکسن (دیوپسید و اوژیت غنی از منیزیم)، آمفیبول (ترمولیت)، سرپانتین، کلریت، اپیدوت، اسپینل کرمدار، مگنتیت و مگنتیت-های کرمدار حاصل از دگرگونی اسپینل‌های کرمدار تشکیل شده‌اند. بررسی‌های صحرایی و میکروسکوپی نشان می‌دهد که مرمرهای موجود در افیولیت انارک در حقیقت لیستونیت‌هایی قدیمی هستند که در اثر فازهای مختلف دگرگونی ناحیه‌ای تبدیل به مرمر شده‌اند. سنگ اولیه این لیستونیت‌ها نیز دایک‌ها و توده‌های نفوذی اولترابازیک، و پریدوتیت‌های گوشته بوده است. وجود سرپانتین، اسپینل کرمدار، مگنتیت و مگنتیت کرمدار در بررسی‌های میکروسکوپی، گواه این مدعاست که این مرمرها در اثر دگرگونی ناحیه‌ای لیستونیت‌ها تشکیل شده‌اند.

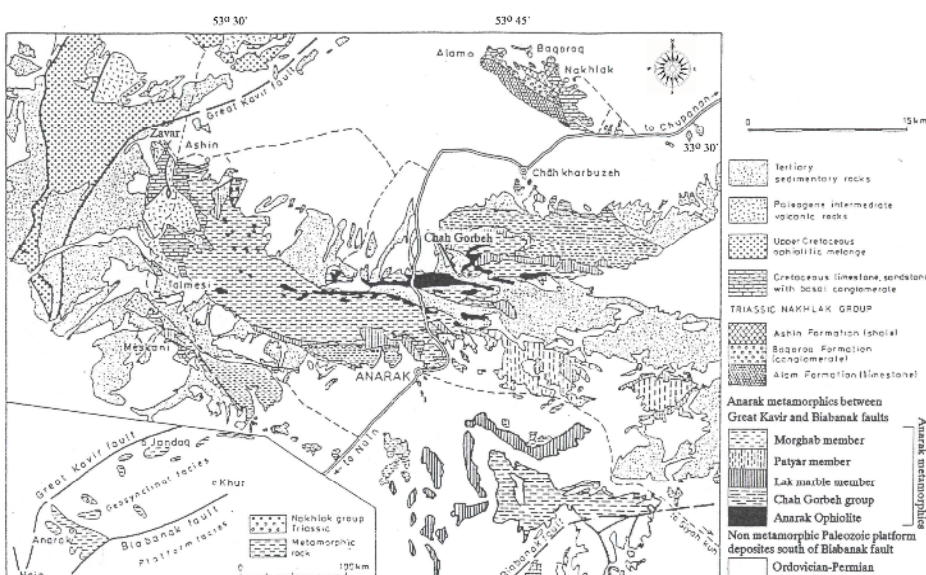
واژه‌های کلیدی: کانی‌شناسی، مرمر، افیولیت، پروتروزوئیک بالایی، انارک، ایران.

مقدمه

منطقه انارک در شمال شرق استان اصفهان در حاشیه جنوبی دشت کویر (کویر مرکزی) با شرایط سخت آب و هوای کویری، واقع شده است. این منطقه در محدوده تقریبی طول های جغرافیایی 54° - 53° شرقی و عرض های جغرافیایی 34° - 33° شمالی قرار دارد. در مقیاس ناحیه ای، منطقه انارک، با یک امتداد شمال غرب - جنوب شرق در میان گودال بزرگ دشت کویر در شمال و فرو افتادگی قم - اردکان در جنوب قرار گرفته است. این منطقه از غرب به کوههای اردستان و دم، از جنوب شرق به کویر سیاه کوه و از جنوب به کوههای شمالی نائین، محدود می شود. از نظر تقسیمات زمین شناسی ایران، منطقه مورد مطالعه در بخش های غربی ایران مرکزی، در حدفاصل گسل های درونه و بیابانک واقع شده است. نوسان دمای محیط بین ماههای مختلف سال تا 65°C نیز می رسد. میزان بارش های جوی به طور متوسط mm 108 در سال است.

در منطقه انارک دو گونه افیولیت وجود دارند [۱] (شکل ۱).

۱- افیولیت انارک: که در بخش های شمالی شهر انارک، در دامنه شمالی کوه دره انجیر و جنوبی کوه چاه گربه قرار دارد و دارای سن پروتروزوئیک بالایی است. سنگ های این مجموعه افیولیتی در همبrij با سنگ های دگرگونی انارک (با سن پروتروزوئیک بالایی - کامبرین پایینی) هستند.



شکل ۱ نقشه زمین شناسی منطقه انارک (اقتباس از [۲] با تغییرات انجام شده در مورد سنگ های دگرگونی و افیولیت انارک). افیولیت انارک با رنگ تیره در بخش های میانی تصویر، و افیولیت ملانژ عشین - زوار در بخش های شمال غربی دیده می شود.

سنگ‌های تشکیل دهنده افیولیت انارک عبارتند از: پریدوتیت‌ها و پریدوتیت‌های سرپانتینی شده گوشه – پریدوتیت‌ها و دایک‌های زون انتقالی – سنگ‌های کومولایی – گابروها – دایک‌های بازیک و اولترابازیک – پیروکسینیت‌ها – گذارهای بالشی – رودینگیت‌ها، و پلاژیوگرانیت‌ها. لیستونیت‌ها و مرمرها نیز از تغییرات واحدهای سنگی افیولیت ثانویه تشکیل شده‌اند. تمام واحدهای این مجموعه افیولیتی دگرگون شده‌اند. موضوع این نوشته نیز بررسی کائی‌شناسی و ژئوشیمی کائی‌های موجود در مرمرهای این افیولیت است.

۲ - افیولیت ملانژ عشین – زوار: که با سن مزوژوئیک و در بخش‌های شمال غربی منطقه انارک قرار دارد.

سنگ آهک‌های پالئوسن زیرین، و سازند آخره با سن اوسن پایینی، این ملانژ افیولیتی را به صورت دگرشیب پوشانده‌اند ولی درگیر ملانژ نشده‌اند. در منطقه انارک سنگ‌های دگرگونی به فراوانی دیده می‌شود و بخش‌های مختلف این سنگ‌ها از قدیم به جدید عبارتند از [۳]:

*گروه چاه گربه، که از پایین به بالا شامل ۵ عضو است:

- ۱- شیستهای سبرز، ۲- مرمرهای زیرین، ۳- شیستهای زیرین، ۴- مرمرهای فوقانی، ۵- شیستهای فوقانی.

* واحد مرمر لاک.

* واحد پتیار،

* واحد مرغاب.

سن شیستهای انارک با استفاده از روش Rb-Sr سنی معادل ۸۴۵ میلیون سال را برآورد

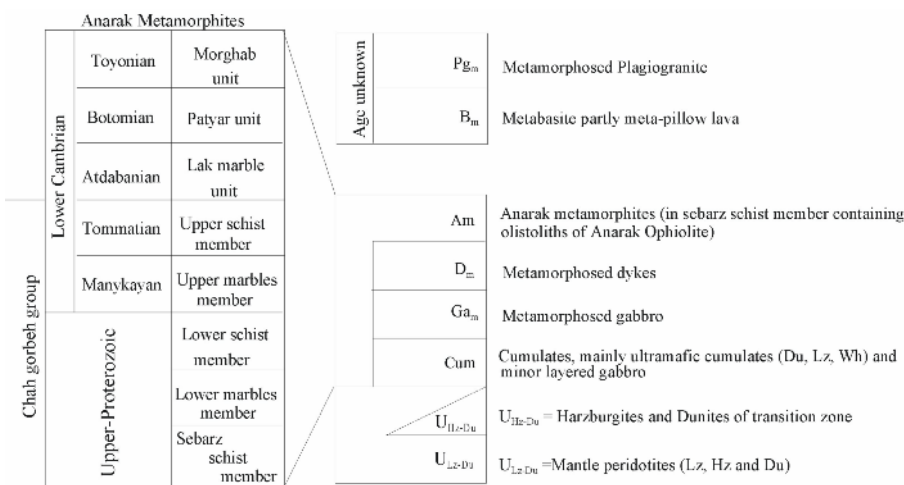
شده‌است [۴]. بررسی برخوردهای افیولیت انارک با عضو شیست سبرز (پایین‌ترین عضو گروه

چاه گربه از سنگ‌های دگرگونی انارک) نشان می‌دهد که:

ضخامت قابل توجهی از تالک شیستهای غنی از تالک در بخش‌های زیرین شیستهای سبرز وجود دارد. پایین‌ترین بخش شیستهای سبرز در حقیقت نوعی الیستوستروم است که قطعات بیگانه‌ای از اولترامافیک‌ها، لیستونیت‌ها، دایک‌ها و گابروهای افیولیت انارک را دارد. در برخی مناطق متاجرتهای نواری در حدمیانی سنگ‌های اولترامافیک و سنگ‌های دگرگون وجود دارند. برگ وارگی درون اولترامافیک‌ها با برگ وارگی درون سنگ‌های دگرگون با یکدیگر موازی هستند. در برخوردهای ایستولیت‌های اولترامافیک با سنگ‌های دگرگون نیز تالک شیست تشکیل شده‌است، و اینکه برگ وارگی درون دگرگونهای با رسیدن به الیستولیت‌های افیولیتی، آنها را دور می‌زنند، همه دلایلی هستند که نشان می‌دهد افیولیت انارک از سنگ‌های دگرگون انارک قدیمی‌تر بوده و متعلق به پروتوروزئیک بالایی است.

تاکنون بررسیهای سیستماتیک چندی در منطقه انجام گرفته است [۵ تا ۷].

در شکل ۲ رابطه چینه‌شناسی سنگ‌های افیولیت انارک با یکدیگر و با سنگ‌های دگرگون انارک نشان داده شده است.



شکل ۲ رابطه چینه‌شناسی سنگ‌های افیولیت شمال انارک با سنگ‌های دگرگونی انارک.

روش کار

به منظور بررسی کانی‌شناسی و ژئوشیمی کانی‌های موجود در مرمرهای افیولیت شمال انارک علاوه بر مطالعات صحرایی، تعداد ۱۰ نمونه از آنها برای تهیه مقطع نازک و مطالعات سنگ‌شناسی انتخاب شدند. از بین مقاطع نازک، تعداد ۲ نمونه برای بررسی‌های ژئوشیمی کانی‌ها با استفاده از دستگاه میکروپرورب در دانشگاه کاشان‌وازا ژاپن، انتخاب و از آنها مقطع نازک صیقلی تهیه شد. نمونه‌هایی که با استفاده از دستگاه میکروپرورب مورد بررسی قرار گرفتند از دامنه‌های جنوبی کوه چاه گربه (دره چاه مهدی) انتخاب شدند. در آنالیز کانی‌ها با استفاده از دستگاه میکروپرورب الکترونی از میکروپرورب JEOL JXA-8800 مدل (WDS) استفاده شد.

لیستونیت‌ها

از آنجاکه از ایجاد سنگ‌های این مجموعه افیولیتی حداقل ۶۰۰ میلیون سال می‌گذرد و در این زمان طولانی، فازهای مختلف زمین‌ساختی و دگرسانی را تجربه کرده‌اند، لذا رخداد فازهای مختلف لیستونیتی شدن، سرپائینی شدن، و رودینگیتی شدن قابل انتظار است. در افیولیت انارک حداقل باید ۳ فاز لیستونیتی شدن انجام شده باشد [۱]. قدیمی‌ترین لیستونیت‌ها مربوط به زمان قبل از نشستن واحدهای تهنستی بر پریدوتیت‌ها است. فاز دوم لیستونیتی شدن همزمان با دگرگشکلی پریدوتیت‌ها است و در محل گسل‌ها و شکستگی‌های اصلی دیده می‌شود. جوان‌ترین فاز لیستونیتی شدن نیز در ارتباط با فراند آتشفسانی ائوسن است.

لیستونیت‌ها از دگرسان گرمابی (کربناته و سیلیسی شدن) سنگ‌های افیولیتی به دست می‌آیند [۸ و ۹]. در نزدیک به معدن متروکه پتیار بیربیریت‌ها که لیستونیت‌های غنی از کوارتز هستند، رخنمون بسیار خوبی دارند (شکل ۳). بیربیریت‌ها لیستونیت‌های غنی از کوارتزند. با

همه این توصیفات حتی در نمونه دستی نیز تشخیص اسپیل در این نوع از لیستونیت‌ها به راحتی میسر است. در مورد لیستونیت‌های فاز دوم موجود در افیولیت انارک، باید گفت که محل وجود این لیستونیت‌ها از محل گسل‌های منطقه تبعیت می‌کند. در منطقه مورد مطالعه این نوع از لیستونیت‌ها در شمال کوه دره انجیر (سبرز، مالگاه، کن مس، عبدالغنى، و چاه شوره) فراوانند. بیشترین مقدار این لیستونیت‌ها نیز در شمال مزرعه عبدالغنى دیده می‌شود. لیستونیت‌های فاز اول را نیز در درون شیسته‌های سبرز و در محل پوندگان افیولیت انارک با سنگ‌های دگرگون در دامنه‌های جنوبی کوه چاه گربه می‌توان دید. فرایند آتشفسانی آندزیتی اثوسن نقش بسیار مهمی در تشکیل لیستونیت‌های فاز سوم منطقه داشته است و آن را می‌توان موتور گرمایی تشکیل لیستونیت‌ها در نظر گرفت.

از آنجاکه لیستونیت‌ها سنگ‌هایی هستند که از جهت مقدار طلا در آنها مورد توجه قرار دارند [۱۰]، بررسی مقدماتی در مورد تعدادی از نمونه‌های لیستونیتی انجام شد. نتایج بررسی-ها نشان می‌دهد که مقدار طلا در لیستونیت‌های این افیولیت قابل توجه است، بنابراین لازم است که این لیستونیت‌های این مجموعه سنگی از جنبه‌های اقتصادی مورد بررسی قرار گیرند.



شکل ۳ (A) دایک اولترابازیک لیستونیتی در غرب دره چاه مهدی که در اثر دگرگونی تبدیل به مرمر شده است. سنگ دربرگیرنده این مرمرها، پریدوئیت‌های سرپانتینی شده گوشته است (نگاه به شمال).



(B) فراوانی لیستونیت در منطقه پتیار. در این منطقه در اثر پدیده لیستونیتی شدن، بیربیریت‌ها بوجود آمده‌اند (نگاه به شمال غرب).

مرمرها

در بخش‌های مختلف افیولیت انارک حجم قابل توجهی از مرمرها را به صورت توده‌ای و یا دایکی شکل می‌توان مشاهده کرد که بیشترین رخمنون را در دامنه‌های جنوبی کوه چاه گربه (دره چاه مهدی) دارند (شکل ۳). این مرمرها از واحدهای سنگی افیولیت به دست آمده و با مرمرهایی که جزئی از دگرگونه‌های انارک را تشکیل می‌دهند متفاوتند. بررسی‌های صحرایی نشان می‌دهد که این مرمرها در حقیقت از لیستونیتها قدمی‌اند که طی دگرگونی ناحیه‌ای تبدیل به مرمر شده‌اند، و آنها را در نقاط مختلف افیولیت انارک به صورت پراکنده می‌توان دید. در بخش‌هایی از این مرمرها، بقایای سنگ‌های اولیه را که تبدیل به لیستونیت شده بود می‌توان مشاهده کرد. در تمامی بخش‌های این مجموعه افیولیتی، سنگ دربرگیرنده این مرمرها، پریدوتیت‌های سرپانتینی شده گوشته هستند.

بررسی‌های میکروسکوپی نشان می‌دهد که کانی اصلی این سنگ‌ها کربنات (کلسیت) بوده و کانی‌های فرعی که ریزدانه‌اند، نیز کلینوپیروکسن، گارنت، آمفیبول، سرپانتین، اپیدوت، کلریت، اسپینل کرم دار، مگنتیت و مگنتیت‌های کرم دار هستند (شکل ۴). مگنتیت‌ها و مگنتیت‌های کرم دار محصول دگرسانی اسپینل‌های کرم دار بوده و از اطراف به گارنت تبدیل شده‌اند.

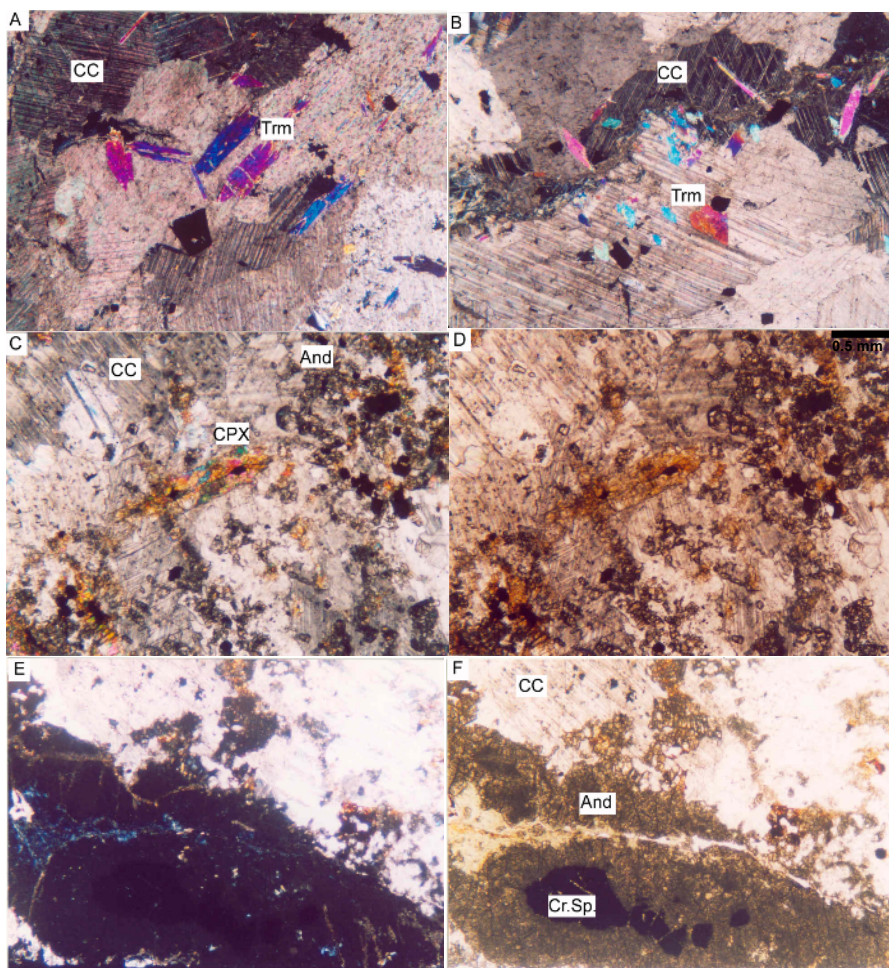
نتایج تجزیه‌های الکترون میکروپرور کانی‌ها نشان می‌دهد که کلینوپیروکسن‌ها از نوع دیوپسید و اوژیت غنی از منیزیم، با $Mg\# = 0,90$ ، کربنات‌ها از نوع کلسیت، گارنت‌ها از نوع آندرادیت، و آمفیبول‌ها از نوع ترمولیت هستند. # اسپینل‌های کرم دار $Mg\# = 0,499$ بوده و $Mg\# = 0,499$ آنها است. اسپینل‌های کرم دار موجود در این سنگ‌ها غنی از Al_2O_3 بوده (بیش از ۲۳٪) و از آنجا که این نوع از اسپینل‌ها نسبت به اسپینل‌های با $Cr\# = 0$ دارای مقاومت کمتری در برابر دگرسانی هستند، به صورت بخشی تبدیل به اسپینل‌های غنی از آهن یعنی مگنتیت گردیده‌اند.

نتایج تجزیه‌های شیمیابی الکترون میکروپرور کانی‌های موجود در مرمرهای افیولیت انارک به همراه محاسبه فرمول ساختمانی آنها و درصد اعضای نهایی در مورد کلینوپیروکسن‌ها و گارنت‌ها در جدول‌های شماره ۱ تا ۳ ارائه شده است. در تفکیک آهن II و III و نمایش فرمول ساختاری کانی‌ها، از روش [۱۱] استفاده شد. دلیل اینکه جمع کل اکسید‌های متعلق به گارنت و مگنتیت کرم دار از ۱۰۰ فاصله زیادی دارد این است که عنصر آهن با غلظت، به صورت FeO^* ارائه شده است و اگر آهن II و آهن III با دستگاه آنالیز کننده به صورت جداگانه داده می‌شد، این مسئله برطرف می‌شد.

با توجه به چگونگی تشکیل این سنگ‌ها و اینکه کانی‌هایی همچون آمفیبول، کلینوپیروکسن، و گارنت به صورت کانی فرعی هستند، به نظر می‌رسد که بهترین نام برای این سنگ‌ها مرمر باشد و از نامهایی همچون اسکارن و یا کالک سیلیکات در این مورد استفاده نشود.

در مورد وجود کانی‌های سیلیکاته در این مرمرها و استفاده از ژئوترمومترهای معروف در مورد برآورد شرایط دما و فشار تشکیل این سنگ‌ها باید گفت از آنجاکه تشکیل این سنگ‌ها حالتی بسیار خاص داشته و ۳ فاز دگرگونی را نیز گذرانده‌اند [۱۱]، باید در استفاده از آنها دقت فراوان کرد. در مورد این مرمرها از ژئوترمومتر گارنت – کلینو پیروکسن [۱۲ تا ۱۴] از نرم افزار (v. 2.0) PTMafic

استفاده شد. استفاده از این ژئوترمومتر برای نمونه شماره ۳۵۳ که دارای کلینوپیروکسن و گارنت است، در گستره فشار ۱ تا ۱۰ کیلوبار، دمایی برابر ۳۲۲ تا ۳۵۸ درجه سانتی‌گراد را نشان می‌دهد.



شکل ۴ (A)، و (B) تصاویر مرمرهای حاصل از دگرگونی لیستونیت‌های افیولیت انارک با کانی‌های کلسیت، آمفیبول (ترمولیت)، و مگنتیت.
 (C) گارنت (آندرادیت)، دیوپسید، مگنتیت، و کلسیت در مرمرهای افیولیت انارک.
 (D) همان تصویر قبل در نور عادی.

(E) گارنت، کلریت، سرپانتین، و کربنات در مرمرهای افیولیت انارک.

(F) همان تصویر قبل در نور عادی. به باقی مانده اسپینل‌های کرمدار اولیه در بخش داخلی گارنت توجه شود. وجود سربانتن و اسپینل کرمدار بیانگر به دست آمدن این مرمرها از دگرگونی دایک‌های اولترابازیک و پریدوتیت‌های لیستونیتی است.

جدول ۱ میانگین نتایج آنالیز کانی‌های موجود در مرمرهای افیولیت انارک.

Sample	Rock	Mineral Type	SiO ₂ %	TiO ₂ %	Al ₂ O ₃ %	Cr ₂ O ₃ %	FeO* %	MnO %	MgO %	CaO %	Na ₂ O %	K ₂ O %	NiO ₂ %	Total %
۳۵۳	Massive (Marble)	A	۵۰.۴۲۲	۰.۰۰۱	۰.۰۰۹	۰.۰۴۸	۳.۰۶۵	۰.۱۹۹	۱۶.۹۹۱	۲۲.۶۶۱	۰.۰۳۴	۰.۰۱۱	۰.۰۳۶	۹۹.۹۸۵
		B	۷.۰۰۰	۰.۰۰۰	۰.۰۱۳	۰.۰۰۰	۰.۰۵۱	۰.۰۰۰	۰.۰۲۱	۵۴.۳۵۷	۰.۰۰۸	۰.۰۱۹	۰.۰۱۷	۵۴.۴۸۶
		C	۳۶.۸۹۲	۰.۰۰۵	۱.۶۷۴	۰.۲۱۶	۲۰.۶۰۰	۰.۲۹۱	۰.۰۰۱	۳۱.۲۳۹	۰.۰۰۴	۰.۰۱۷	۰.۰۰۳	۹۶.۳۷۸
		D	۵۷.۸۵۴	۰.۰۳۲	۰.۰۰۵	۰.۰۲۲	۲.۲۸۴	۰.۲۴۹	۲۲.۴۰۰	۱۱.۷۹۴	۰.۰۲۴	۰.۰۷۶	۰.۰۱۷	۹۶.۰۵۵
۳۷۰	Dike (Marble)	B	۱۱.۱۷۳	۰.۰۰۶	۰.۱۴۷	۰.۰۰۵	۰.۳۰۷	۰.۰۱۶	۱.۶۳۶	۵۱.۰۵۸	۰.۰۰۰	۰.۰۰۵	۰.۰۰۰	۵۴.۹۰۳
		E	۵۳.۷۷۷	۰.۰۲۶	۲.۸۳۸	۱.۰۶۴	۲.۹۴۸	۰.۱۰۲	۱۷.۰۰۷	۲۰.۷۹۵	۰.۰۰۹	۰.۰۱۷	۰.۰۳۵	۹۹.۷۱۱
		F	۰.۰۰۴	۰.۸۹۷	۲۳.۳۲۳	۳۶.۴۶۹	۲۸.۱۳۶	۰.۵۴۲	۱۰.۰۷۲	۰.۰۰۲	۰.۰۰۷	۰.۰۰۷	۰.۱۱۹	۱۰۰.۱۱۷
		G	۱۱.۲۱۴	۰.۰۰۵	۰.۳۶۶	۱۴.۸۸۴	۷۴.۰۲۷	۱.۰۷۳	۱۰.۰۹	۰.۰۱۷	۰.۰۱۵	۰.۰۲۰	۰.۱۱۸	۹۳.۲۹۳

A: ^۲ CPX, B: Calcite, C: ^۳Garnet, D: ^۵Amphibole E: Cpx F: ^۳Spinel, G: Cr-magnetite.

جدول ۲ فرمول ساختمانی محاسبه شده کانی‌های موجود در مرمرهای افیولیت انارک.

Sample	Rock	Mineral Type	Oxyg. Atm.	Si	Ti	Al	Cr	Fe ²⁺	Fe ³⁺	Mn	Mg	Ca	Na	K	Ni	Total
۳۵۳	Massive (Marble)	A	۷	۲.۰۲۶	۰.۰۰۰	۰.۰۰۰	۰.۰۰۱	۰.۱۰۹	۰.۰۰۰	۰.۰۰۶	۰.۹۲۶	۰.۹۲۷	۰.۰۰۲	۰.۰۰۱	۰.۰۰۱	۴.۰۰۰
		B	۳	۰.۰۰۰	۰.۰۰۰	۰.۰۰۰	۰.۰۰۰	۰.۰۰۰	۰.۰۰۰	۰.۰۰۰	۰.۹۹۸	۰.۰۰۰	۰.۰۰۰	۰.۰۰۰	۱.۰۰۰	
		C	۱۲	۳.۱۱۸	۰.۰۰۴	۰.۱۶۶	۰.۰۱۴	۰.۲۳۱	۱.۵۸۲	۰.۰۲۱	۰.۰۰۲	۲.۸۶۵	۰.۰۰۱	۰.۰۰۲	۰.۰۰۱	۸.۰۰۰
		D	۲۲	۸.۰۳۸	۰.۰۰۳	۰.۰۰۹	۰.۰۰۹	۰.۰۲۸	۰.۰۰۰	۰.۰۲۹	۲.۹۴۳	۱.۷۵۰	۰.۰۰۰	۰.۰۲۶	۰.۰۱۲	۰.۰۱۸
۳۷۰	Dike (Marble)	B	۳	۰.۰۰۰	۰.۰۰۰	۰.۰۰۳	۰.۰۰۱	۰.۰۰۰	۰.۰۰۰	۰.۰۰۰	۰.۹۲۴	۰.۹۳۱	۰.۰۰۰	۰.۰۰۰	۰.۰۰۰	۱.۰۰۰
		E	۶	۱.۹۶۰	۰.۱۱۴	۰.۱۲۲	۰.۰۳۱	۰.۰۹۰	۰.۰۰۰	۰.۰۰۳	۰.۹۲۴	۰.۸۱۱	۰.۰۴۳	۰.۰۰۱	۰.۰۰۱	۴.۰۰۰
		F	۲۲	۰.۰۰۱	۰.۱۷۷	۶.۸۱۹	۷.۱۴۹	۰.۸۳۴	۴.۱۳۸	۱.۶۹۰	۰.۱۱۰	۳.۹۰۸	۰.۰۰۷	۰.۰۰۰	۰.۰۰۰	/۰۰۰
		G	۲۲	۰.۳۷۱	۰.۰۱۱	۰.۱۳۲	۳.۰۹۶	۱۸.۹۱۸	۷.۴۱۲	۱۱.۰۷	۰.۰۷۸	۰.۶۸۸	۰.۰۰۶	۰.۰۰۰	۰.۰۰۰	/۰۰۰

A: ^۲ CPX, B: Calcite, C: ^۳Garnet, D: ^۵Amphibole E: Cpx F: ^۳Spinel, G: Cr-magnetite.

جدول ۳ درصد مولکولی اعضای نهایی محلول‌های جامد در مورد گارنت‌ها و پیروکسن‌های موجود در مرمرهای افیولیت انارک.

Sample ۳۵۳	^۳ Garnet
Andradite	% ۹۴.۸۲
Grossular	% ۴.۴۳
Uvarovite	% ۰.۷۵

Sample	^۳ CPX ۳۵۳	CPX ۳۷۰
Wollastonite	% ۴۷.۰۲	% ۴۳.۳۶
Enstatite	% ۴۶.۹۹	% ۴۹.۳۵
Ferrosilite	% ۵.۸۷	% ۶.۹۹
Acmite	% ۰.۱۲	% ۲.۳۰

برداشت

وجود سربانتنین، اسپینل‌های کرمدار، مگنتیت و مگنتیت‌های کرمدار حاصل از اسپینل‌های کرمدار اولیه که از اطراف بطور بخشی به گارنت تبدیل شده‌اند، و نیز بررسی‌های صحرایی نشان می‌دهد که سنگ اولیه این مرمرها که در حقیقت لیستونیت‌های دگرگون شده‌اند از، دایک‌ها و توده‌های نفوذی اولترابازیک، و پریدوتیت‌های گوشته بوده و این مرمرها در اثر دگرگونی ناحیه‌ای نفوذی اولترابازیک، و مافیک افیولیت شمال انارک و سنگ‌های اولترامافیک ناشیه‌ای لیستونیت‌ها تشکیل شده‌اند.

مراجع

- [۱] ترابی ق., پترولوزی افیولیت‌های منطقه انارک (شمال شرق استان اصفهان) با تأکید بر مطالعه سنگ‌های اولترامافیک - مافیک افیولیت شمال انارک و سنگ‌های اولترامافیک -

مافیک ملانژ افیولیتی عشین-زوار، رساله دکترای پetroلوزی، بخش زمین‌شناسی دانشگاه تربیت مدرس (۱۳۸۳)، صفحه ۲۴۰.

- [2] Weber-Diefenbach K., Davoudzadeh M., Alavi-Tehrani N., Lensch G., "Paleozoic Ophiolites of Iran, geology, geochemistry and geodynamic implication", *Ophioliti* 11(3) (1986) 305-338.
- [3] Almasian M., "Tectonics of the Anarak area (Central Iran)", Islamic Azad University, Science and Research Unit, PhD thesis (1997) p. 164.
- [4] Reyer D., Mohafez S., "The first contribution of the NIOC-ERAP agreements to knowledge of Iranian geology", Edition techniq, Paris (1972) p. 58.
- [5] V/O Technoexport, "Geological maps of Anarak (1/250,000), Anarak (1/100,000), Ashin (1/100,000), Nakhlak (1/100,000), & Sorkhshad (1/100,000)", No. G7; Sheet: 6756; Sheet: 6656; Sheet: 6757; Sheet: 6657, respectively, Geological Survey of Iran (1984).
- [6] V/O Technoexport, "Geology of the Anarak area (Central Iran)", Geological Survey of Iran, Report TE/No.19 (1984).
- [7] V/O Technoexport, "Outline of metallogeny of Anarak area (Central Iran)", Geological Survey of Iran, Report TE/No. 21 (1984).
- [8] Ash C. H., "Relationship between Ophiolites and Gold-Quartz Veins in the North American Cordillera", Department of Energy, Mines and Petroleum Resources, British Columbia Geological Survey, Bulletin 108 (2001) p. 140.
- [9] Hall C., Zhao R., "Listvenite and related rocks: Prospectives on terminology and mineralogy with reference to an occurrence at Cregganbaun Co. Mayo, Republic of Ireland", Mineralium Deposita 30 (1995) 303-313.
- [10] Buisson G., Leblanc M., "Gold in carbonatized ultramafic rocks from ophiolite complexes", Econ. Geol. 80 (1985) 2028-2029.
- [11] Spear F. S., "Metamorphic Phase Equilibria and Pressure-Temperature-Time Paths", Mineralogical Society of America (1995) 799 p.
- [12] Ellis D. J., Green D. H., "An experimental study of the effect of Ca upon garnet-clinopyroxene Fe-Mg exchange equilibria", Contrib. Mineral. Petrology 71 (1979) 13-22.
- [13] Ganguly J., "Garnet and clinopyroxene solid solutions, and geothermometry based on Fe-Mg distribution coefficient", Geoch. Cosm. Acta 43 (1979) 1021-1029.
- [14] Powell R., "Regression diagnostics and robust regression in geothermometer/geobarometer calibration: the garnet-clinopyroxene geothermometer revisited", J. metamorphic Geology 3 (1985) 231-243.